

Parameter	Unit	Value	Standard Error	95% CI	P-value
$\beta_0$		-0.000	0.000	-0.000	0.000
$\beta_1$		0.000	0.000	0.000	0.000
$\beta_2$		0.000	0.000	0.000	0.000
$\beta_3$		0.000	0.000	0.000	0.000
$\beta_4$		0.000	0.000	0.000	0.000
$\beta_5$		0.000	0.000	0.000	0.000
$\beta_6$		0.000	0.000	0.000	0.000
$\beta_7$		0.000	0.000	0.000	0.000
$\beta_8$		0.000	0.000	0.000	0.000
$\beta_9$		0.000	0.000	0.000	0.000
$\beta_{10}$		0.000	0.000	0.000	0.000
$\beta_{11}$		0.000	0.000	0.000	0.000
$\beta_{12}$		0.000	0.000	0.000	0.000
$\beta_{13}$		0.000	0.000	0.000	0.000
$\beta_{14}$		0.000	0.000	0.000	0.000
$\beta_{15}$		0.000	0.000	0.000	0.000
$\beta_{16}$		0.000	0.000	0.000	0.000
$\beta_{17}$		0.000	0.000	0.000	0.000
$\beta_{18}$		0.000	0.000	0.000	0.000
$\beta_{19}$		0.000	0.000	0.000	0.000
$\beta_{20}$		0.000	0.000	0.000	0.000
$\beta_{21}$		0.000	0.000	0.000	0.000
$\beta_{22}$		0.000	0.000	0.000	0.000
$\beta_{23}$		0.000	0.000	0.000	0.000
$\beta_{24}$		0.000	0.000	0.000	0.000
$\beta_{25}$		0.000	0.000	0.000	0.000
$\beta_{26}$		0.000	0.000	0.000	0.000
$\beta_{27}$		0.000	0.000	0.000	0.000
$\beta_{28}$		0.000	0.000	0.000	0.000
$\beta_{29}$		0.000	0.000	0.000	0.000
$\beta_{30}$		0.000	0.000	0.000	0.000
$\beta_{31}$		0.000	0.000	0.000	0.000
$\beta_{32}$		0.000	0.000	0.000	0.000
$\beta_{33}$		0.000	0.000	0.000	0.000
$\beta_{34}$		0.000	0.000	0.000	0.000
$\beta_{35}$		0.000	0.000	0.000	0.000
$\beta_{36}$		0.000	0.000	0.000	0.000
$\beta_{37}$		0.000	0.000	0.000	0.000
$\beta_{38}$		0.000	0.000	0.000	0.000
$\beta_{39}$		0.000	0.000	0.000	0.000
$\beta_{40}$		0.000	0.000	0.000	0.000
$\beta_{41}$		0.000	0.000	0.000	0.000
$\beta_{42}$		0.000	0.000	0.000	0.000
$\beta_{43}$		0.000	0.000	0.000	0.000
$\beta_{44}$		0.000	0.000	0.000	0.000
$\beta_{45}$		0.000	0.000	0.000	0.000
$\beta_{46}$		0.000	0.000	0.000	0.000
$\beta_{47}$		0.000	0.000	0.000	0.000
$\beta_{48}$		0.000	0.000	0.000	0.000
$\beta_{49}$		0.000	0.000	0.000	0.000
$\beta_{50}$		0.000	0.000	0.000	0.000
$\beta_{51}$		0.000	0.000	0.000	0.000
$\beta_{52}$		0.000	0.000	0.000	0.000
$\beta_{53}$		0.000	0.000	0.000	0.000
$\beta_{54}$		0.000	0.000	0.000	0.000
$\beta_{55}$		0.000	0.000	0.000	0.000
$\beta_{56}$		0.000	0.000	0.000	0.000
$\beta_{57}$		0.000	0.000	0	

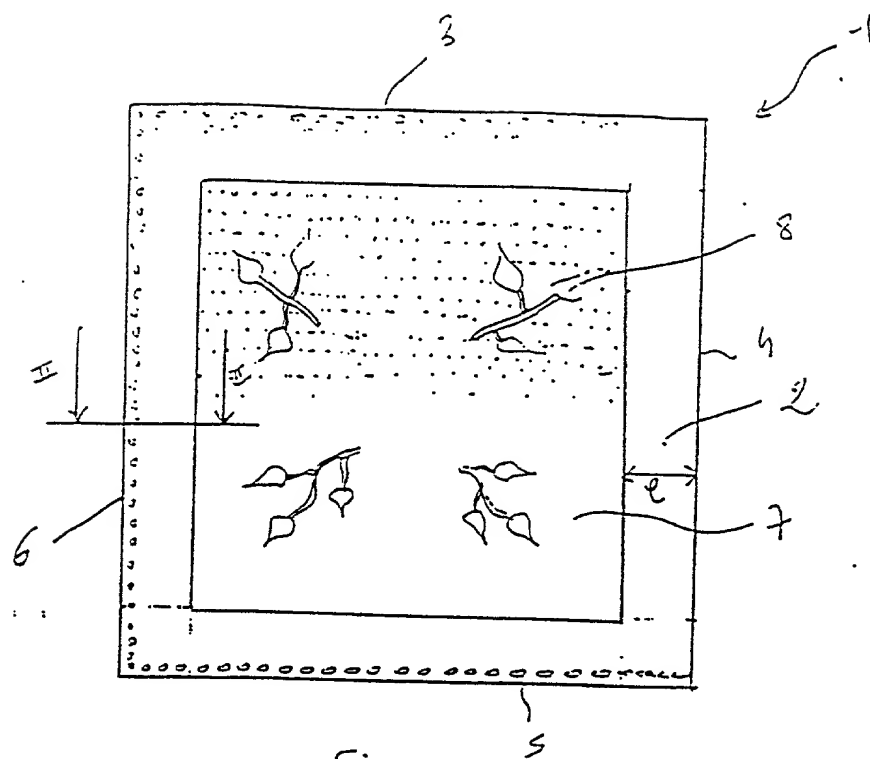


Fig. 1

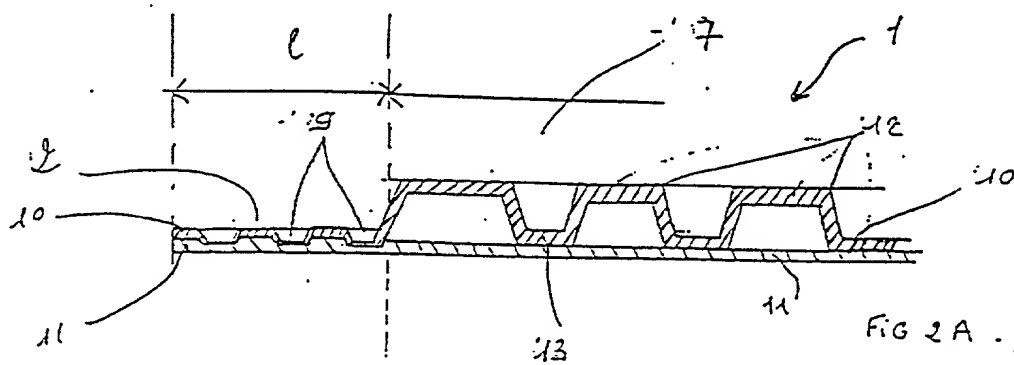


FIG 2A

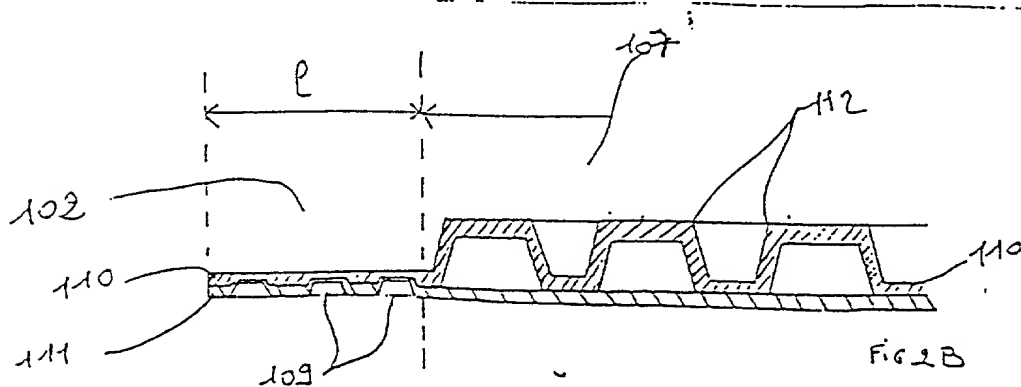
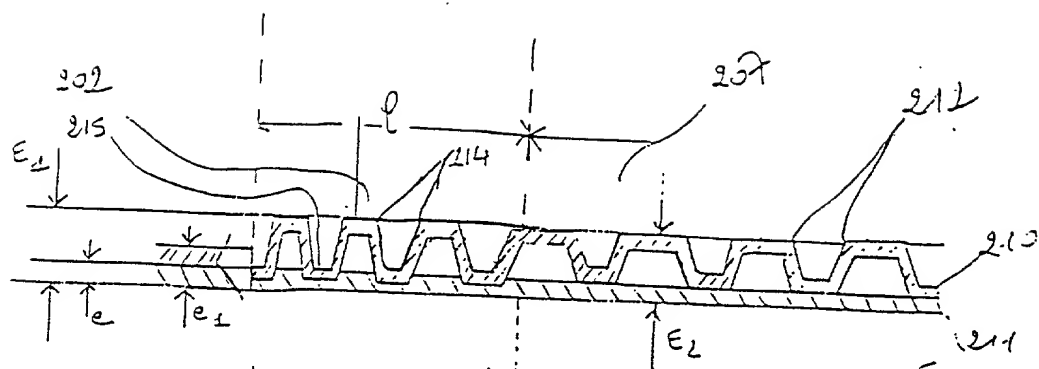


FIG 2B



F.C.3.

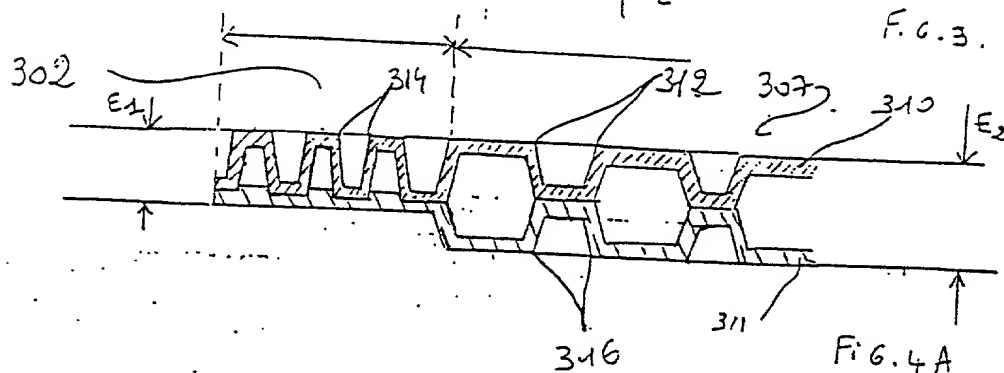


FIG. 4A

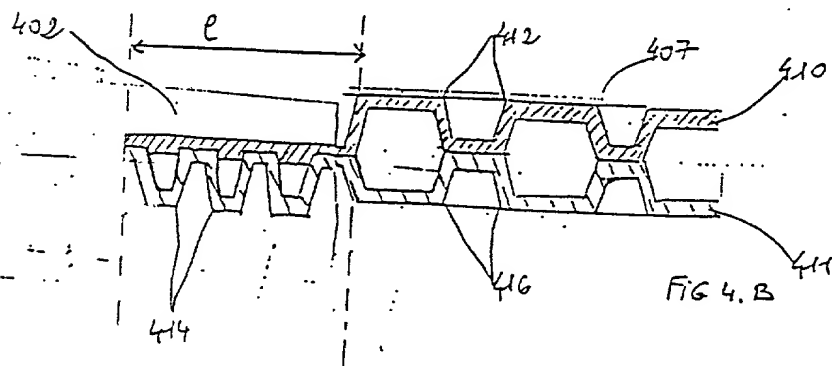


FIG 4. B

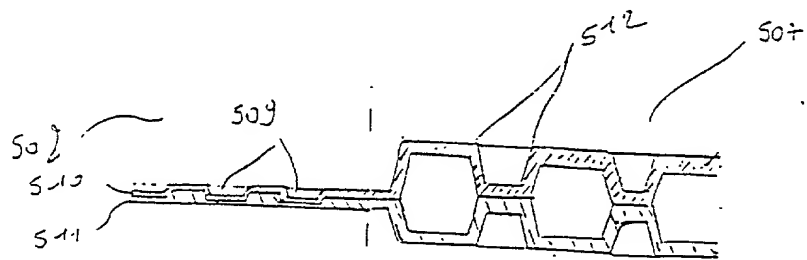


FIG 4C

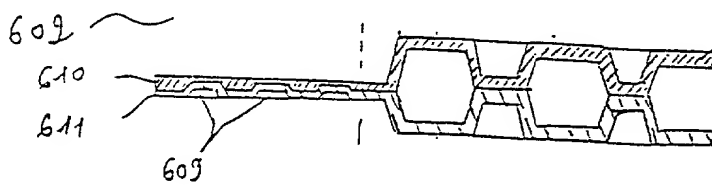


FIG 4D

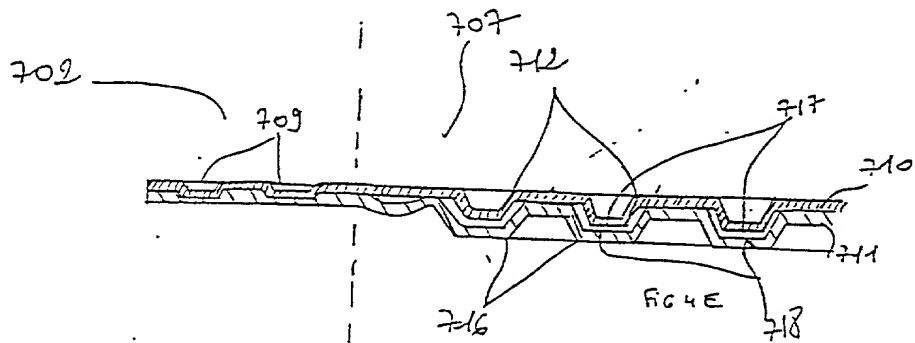


FIG 4E

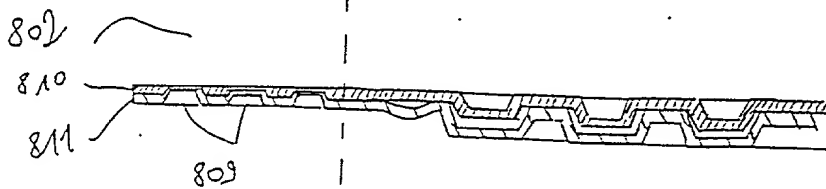


FIG 4F

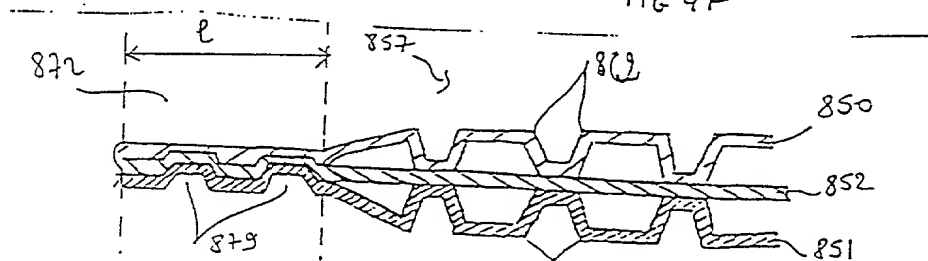
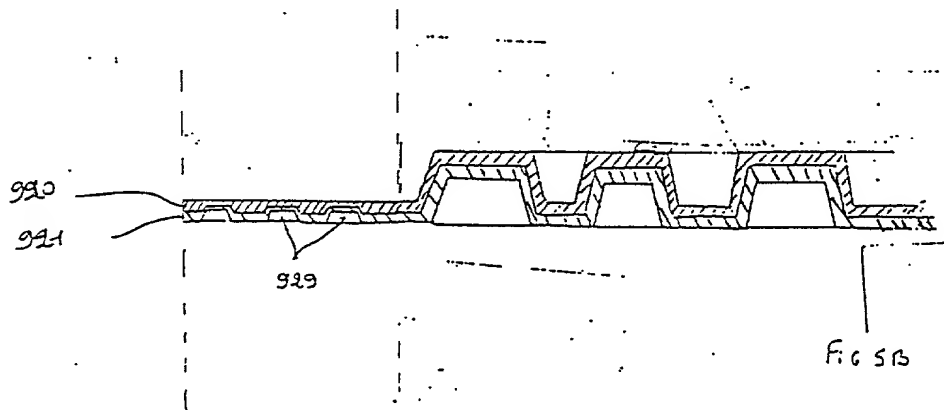
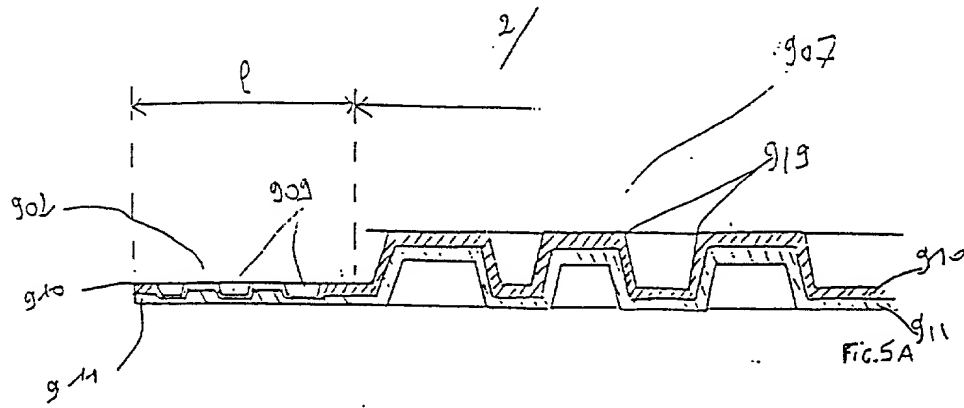
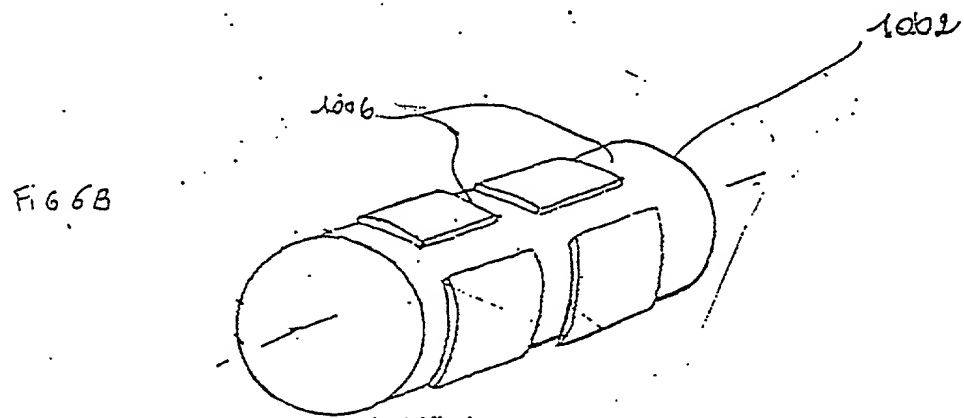
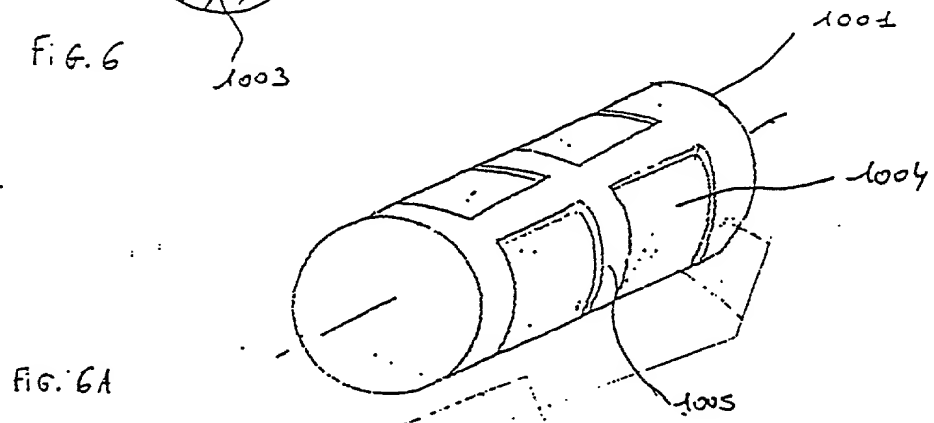
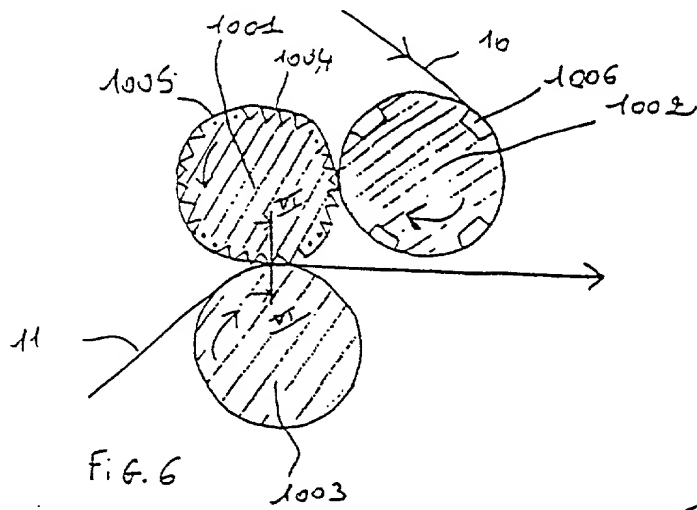


FIG 4G

Downloaded from www.ascelibrary.org





$G/H$

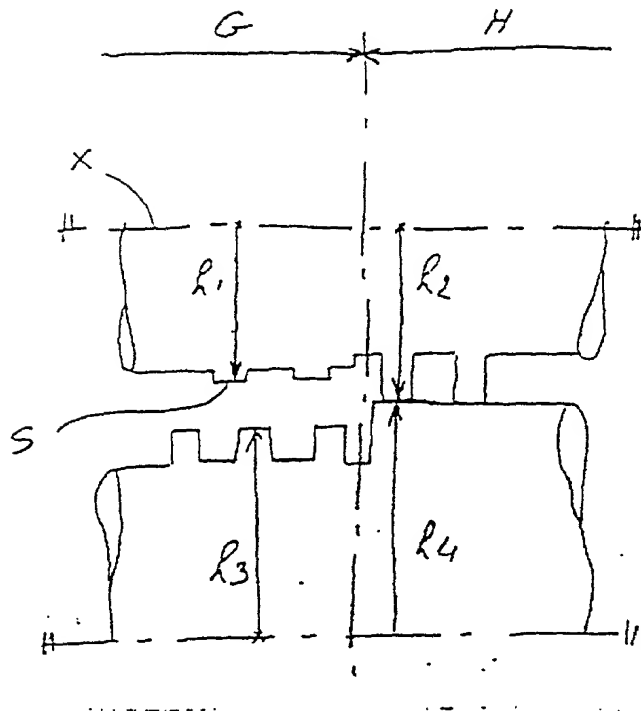
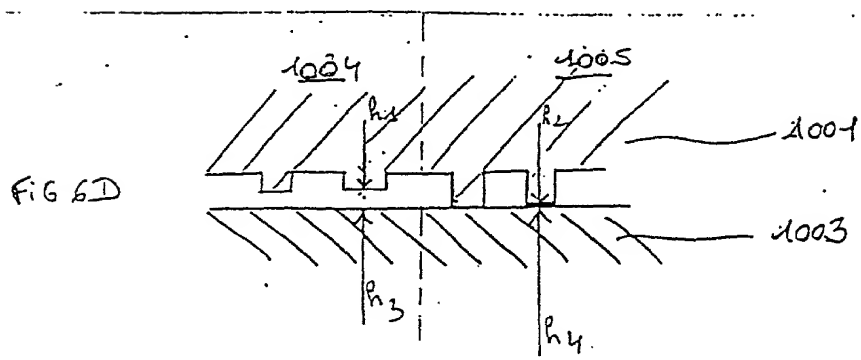


Fig. 6C



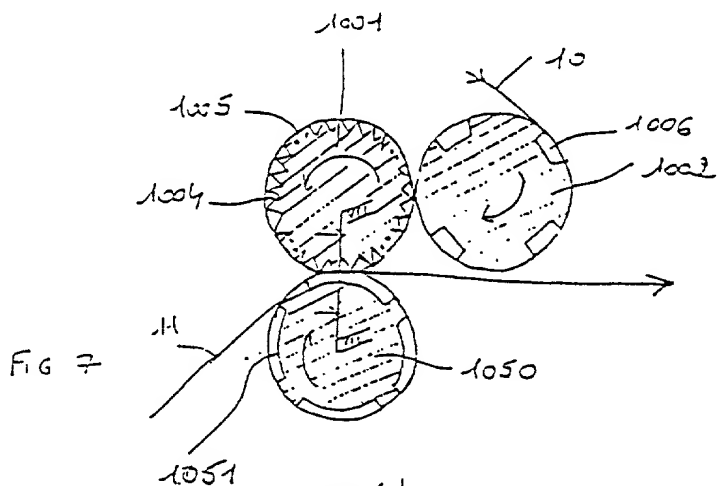


FIG 7

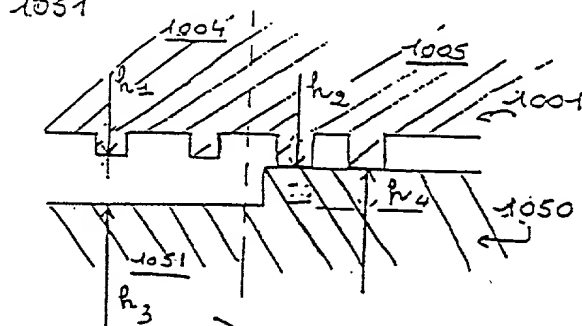


FIG. 7A

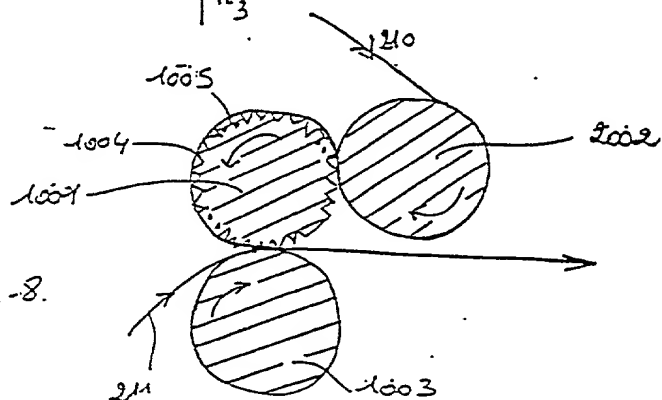


FIG. -8.

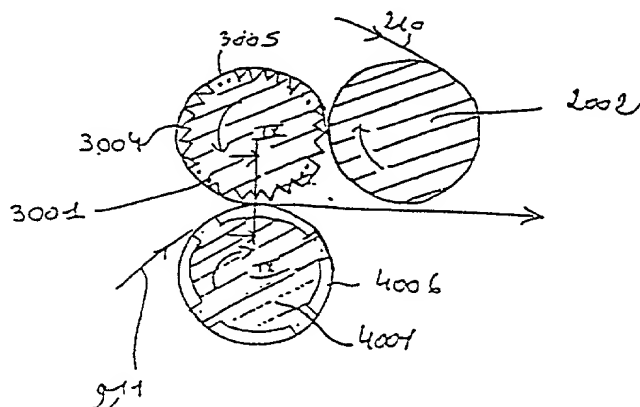


Fig. 9

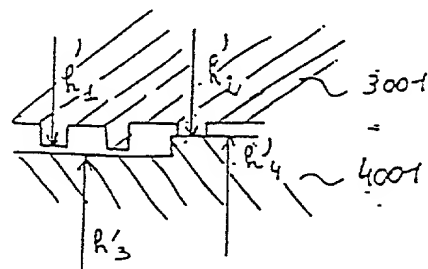


Fig. 2

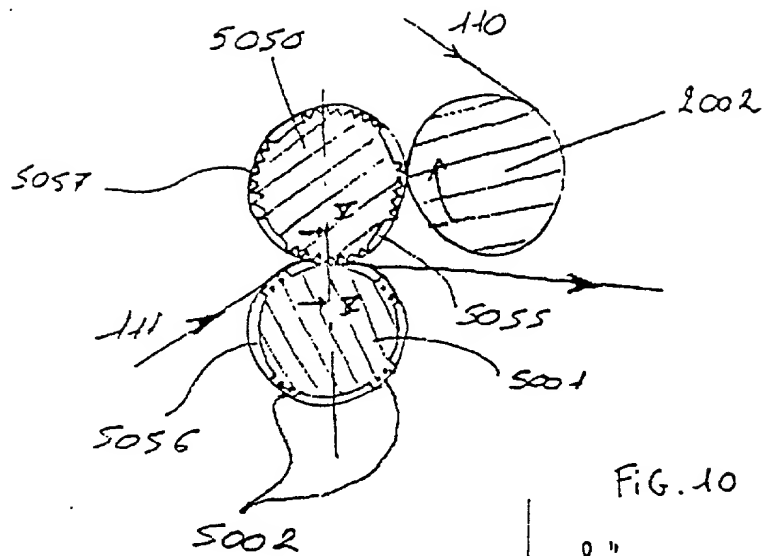


FIG. 10

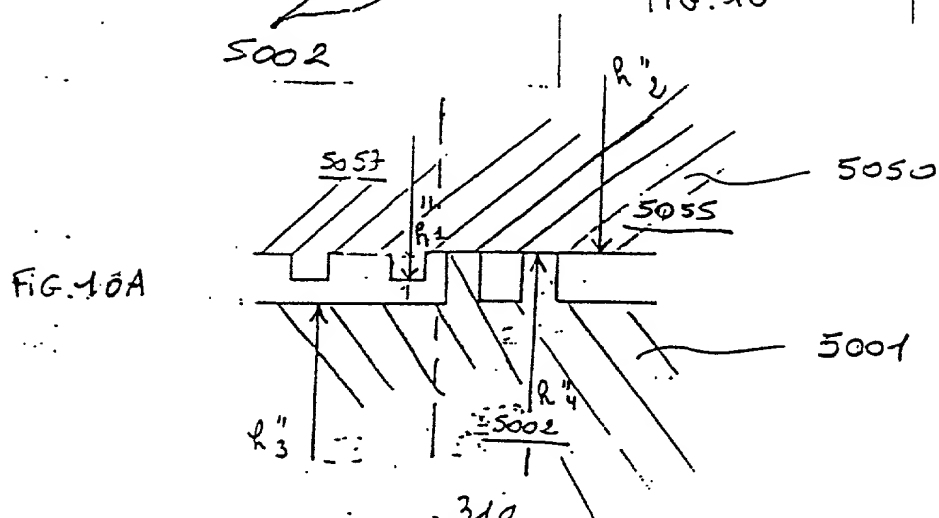


FIG. 10A

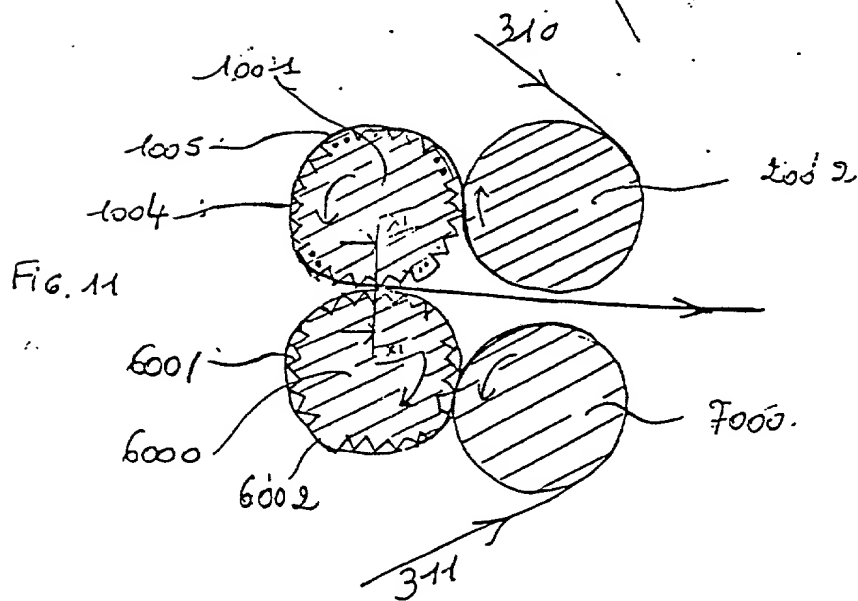
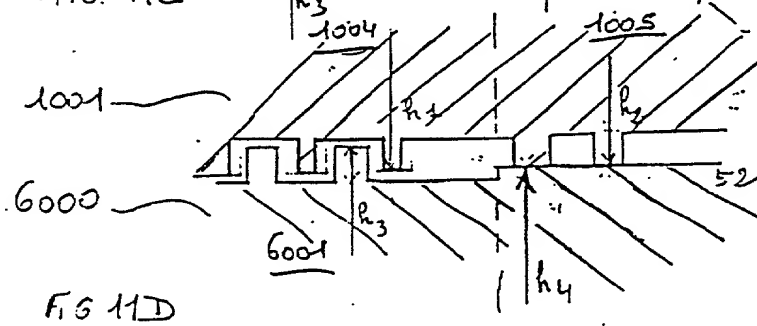
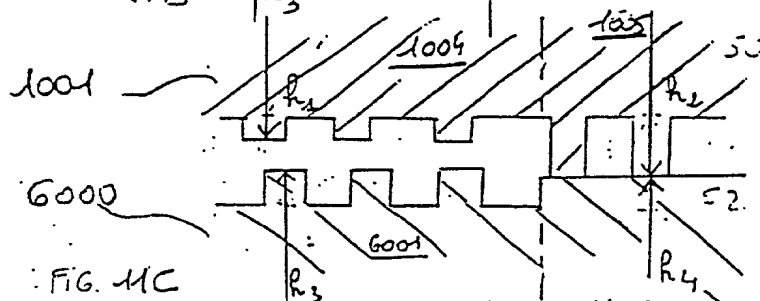
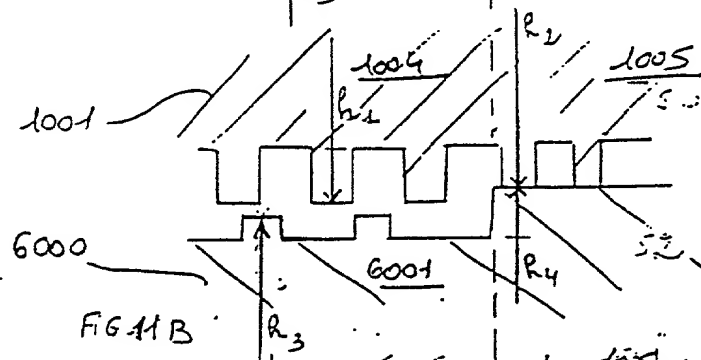
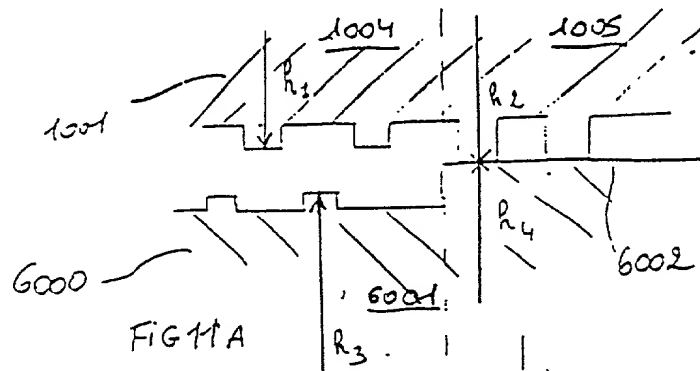


FIG. 11





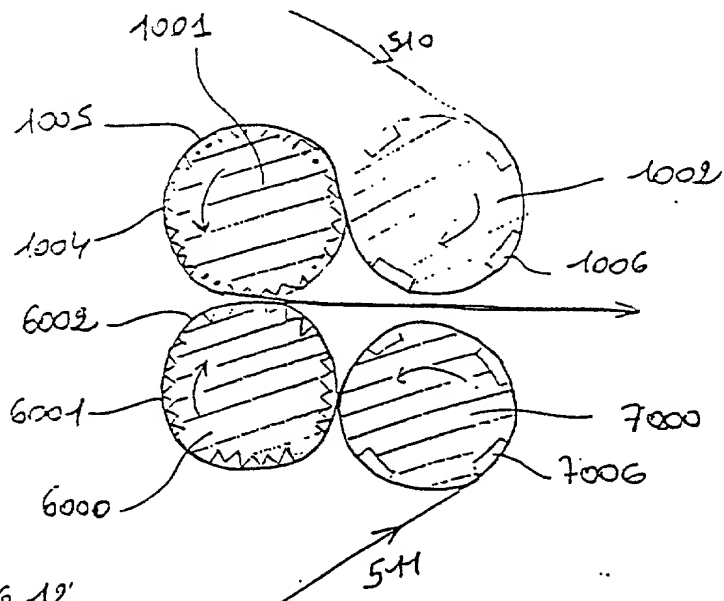


FIG 12.

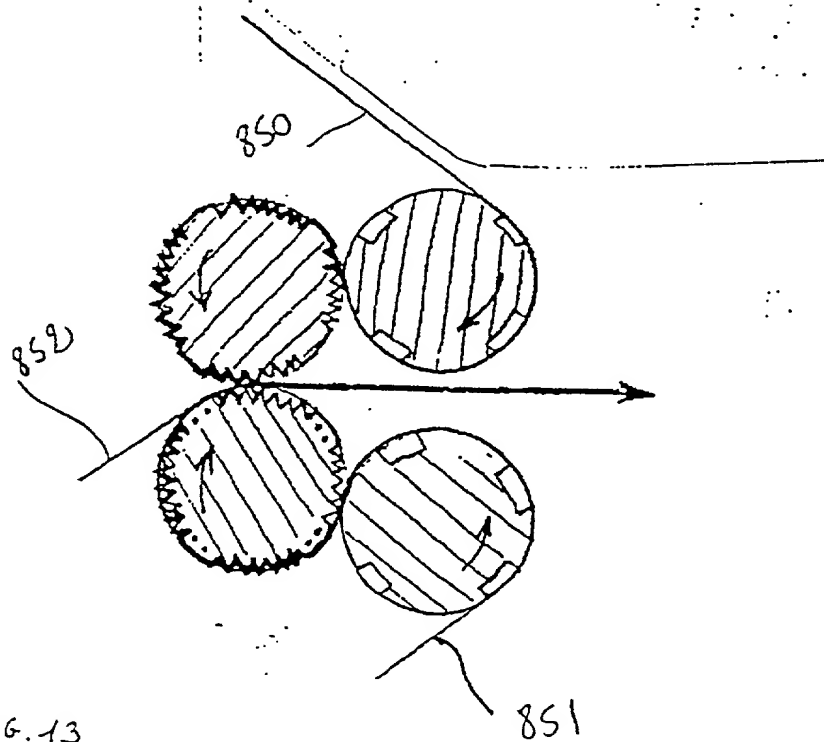


FIG. 13

FIG. 12

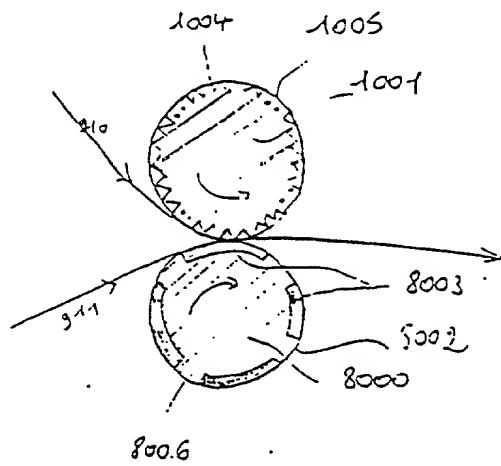


FIG 14.A

